

استفاده از ماتریس سختی دینامیکی در تحلیل دینامیکی و مطالعه توزیع نرخ کرنش در قابها

محمدجواد جبارزاده، فارغ التحصیل کارشناسی ارشد مهندسی زلزله
محمود حسینی، استادیار و مدیر گروه شریانهای حیاتی پژوهشگاه
منصور ضیائی فر، استادیار و مدیر گروه دینامیک سازه پژوهشگاه

۲- مقدمه

امروزه روش‌های تحلیلی متداول در تحلیل دینامیکی سازه‌ها بر اساس استفاده از اعضای می باشند که اعضای سازه را به اجزای کوچکتر تقسیم می کنند. فرمول بندی سختی این اجزاء، بر اساس معادلات تعادل استاتیکی است و ماتریس جرم سازگار (*Consistant Mass Matrix*) و یا ماتریس جرم متتمرکز (*Lumped Mass Matrix*) به طور جداگانه برای این اجزاء به دست می آید و در نهایت هر دو مشخصه در تحلیل دینامیکی مورد استفاده قرار می گیرند. به این ترتیب، توزیع جرم استفاده شده، یک توزیع تقریبی و پاسخهای دینامیکی به دست آمده دارای خطا می باشند؛ اما استفاده از ماتریس سختی دینامیکی می باشند که این اجزاء را به طور محدودیتهای کاربرد روش‌های متداول را ندارد و امکان محاسبه دقیق پاسخ دینامیکی سازه را ممکن می سازد. در این روش، به دلیل استفاده از توزیع پیوسته جرم روی اعضاء، خطای ناشی از توزیع گسته جرم از بین می رود و در نتیجه حساسیت دقت پاسخها نسبت به طول اعضاء و فرکانس تحریک ورودی حذف می شود.

روش سختی دینامیکی در ابتداء توسط کولوسک در اوایل دهه ۱۹۴۰ بسط داده شد [۱] و سپس به طور گسترده‌ای در تحلیلهای ارتعاشی سازه‌های تبری موردن استفاده قرار گرفت. پس از آن، مطالعات زیادی برای بهبود و توسعه این روش صورت گرفت و چندین مدل ریاضی برای اعضای مختلف سازه ای توسط محققان ارائه شد [۱ الی ۹]. دویل و همکاران [۴، ۵ و ۶] به کمک جوابهای دقیق انتشار

۱- چکیده

در تحلیلهای دینامیکی متداول که اثر جرم به طور گسته (به صورت ماتریس جرم مرکزی یا ماتریس جرم سازگار) در معادلات حرکت سیستم وارد می شود، به علت تقریبی بودن توزیع جرم در تعیین پاسخ جا به جایی ها و بخصوص کرنشها که از مشتقات بالاتر معادلات حرکت به دست می آیند خطابه وجود می آید. از سوی دیگر، حساسیت فولاد به تغییرات زمانی کرنش که به سرعت بارگذاری یا محتوای فرکانسی آن مربوط است در آزمایشهای متعدد به اثبات رسیده است؛ به طوری که با افزایش سرعت اعمال بارگذاری، رفتار فولاد از حالت نرم به ترد تغییر کرده و شکست ترد را امکان پذیر می سازد. نمونه هایی از این پدیده در زلزله های نورث ریج و کوبه مشاهده شده است.

در این مقاله با استفاده از برنامه ای تحت عنوان *Wave Propagation in Structures* (WPS) که بر اساس فرمول بندی ماتریس سختی دینامیکی و با استفاده از تبدیل فوریه سریع برای تحلیل دینامیکی قابهای دو بعدی و تعیین پاسخ دقیق آنها توسط نگارندگان تدوین شده است چند نمونه قاب مورد مطالعه قرار گرفته و خطای تحلیلهای متداول دینامیکی در سرعتهای بالای بارگذاری بویژه در تعیین مقادیر کرنش سازه و نتیجتاً نرخهای کرنش ایجاد شده نشان داده شده است. علاوه بر آن، پتانسیل آسیب دیدگی سازه ناشی از شکست ترد به کمک مقادیر نرخ کرنش به دست آمده از نرم افزار WPS بررسی گردیده است. **کلیدواژه ها:** شکست ترد فولاد، ماتریس سختی دینامیکی، نرخ کرنش.

منظور، می توان از روش‌های متعددی مانند قوانین نیوتون، اصل دالامبر، اصل کار مجازی، معادلات لاگرانژ یا اصل همیلتون که در مقالات متعددی مطرح شده اند استفاده کرد [۱۳].

روش‌های مورد استفاده در استخراج ماتریس سختی دینامیکی همانند روش تعیین ماتریس سختی استاتیکی است و تنها تفاوت موجود، در معادله دیفرانسیلی است که از ابتدا در نظر گرفته می‌شود. مراحل دیگر شامل به دست-آوردن و سرهنگی ماتریس سختی دینامیکی کل سازه همانند روش اجزای محدود است. به عنوان مثال، ماتریس سختی دینامیکی یک عضو محوری که معادله دیفرانسیل حاکم بر آن به صورت رابطه (۱) است، به صورت رابطه (۲) نتیجه می‌شود [۱۴]:

$$EA \frac{\partial^2 u}{\partial x^2} - \rho A \frac{\partial^2 u}{\partial t^2} = 0 \quad (1)$$

$$\begin{cases} F_1 \\ F_2 \end{cases} = \frac{EA}{L} \frac{kL}{\sin(kL)} \begin{bmatrix} \cos(kL) & -1 \\ -1 & \cos(kL) \end{bmatrix} \begin{cases} u_1 \\ u_2 \end{cases} \quad (2)$$

$$K_D = \frac{EA}{L} \frac{(kL)}{\sin(kL)} \begin{bmatrix} \cos(kL) & -1 \\ -1 & \cos(kL) \end{bmatrix}, k = \omega \sqrt{\frac{\rho A}{EA}}$$

در رابطه‌های (۱) و (۲)، L, A, E, ρ و u به ترتیب چگالی جرمی، ضریب الاستیستیته، سطح مقطع میله، طول میله و جابه جایی محوری میله، F_1 و F_2 نیروهای گرهی (شکل ۱، الف)، u_1 و u_2 جابه جایی محوری گرهی و عدد k عدد موج است.

ماتریس سختی دینامیکی تیر خمثی با معادله دیفرانسیل اولر به شکل رابطه (۳) نیز به صورت رابطه (۴) به دست می‌آید [۹]:

$$EI \frac{\partial^4 v}{\partial x^4} - \rho A \frac{\partial^2 v}{\partial t^2} = 0 \quad (3)$$

$$(4)$$

$$\begin{cases} F_1 \\ M_1 \\ F_2 \\ M_2 \end{cases} = \frac{EI}{L^3} \begin{bmatrix} a & \bar{\gamma}L & -\bar{a} & \bar{\beta}L^2 \\ \beta L^2 & -\gamma L & \bar{\beta}L^2 & a \\ S_{sym} & \bar{\beta}L^2 & \bar{\gamma}L & a \end{bmatrix} \begin{cases} v_1 \\ \phi_1 \\ v_2 \\ \phi_2 \end{cases}, k = \sqrt{\omega^4 \frac{\rho A}{EI}}$$

که:

$$\alpha = (CSh + SCH)(kL)^3 / det, \quad \bar{\alpha} = (S + Sh)(kL)^3 / det$$

$$\beta = (-CSh + SCH)(kL) / det, \quad \bar{\beta} = (-S + Sh)(kL) / det$$

$$\gamma = (-C + Ch)(kL)^2 / det, \quad \bar{\gamma} = (S.Sh)(kL)^2 / det$$

موج، معادلات حاکم بر حرکت را فرمول بندی کردند و با تبدیل این معادلات به معادلات ماتریسی حاکم بر ارتعاش اعضا و استفاده از تبدیل فوریه سریع، امکان مدلسازی قابها را به روش تحلیل ماتریسی فراهم نمودند. این تحقیقات مقارن با افزایش توانایی رایانه هادر انجام محاسبات با حجم بالاتر بود.

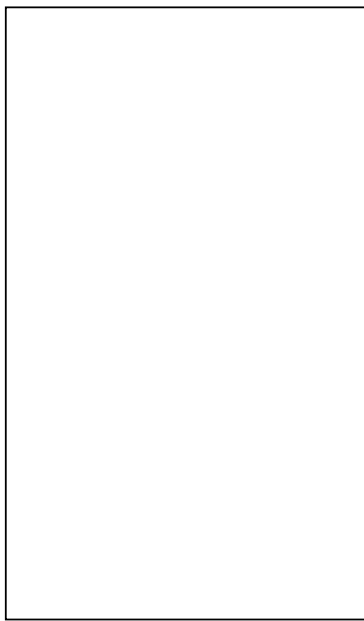
در تحقیق حاضر، براساس فرمول بندی ماتریس سختی دینامیکی برنامه ای تحت نرم افزار Matlab 5.3 به نام WPS تهیه شده است که قابلیت تحلیل دینامیکی خطی قابها دو بعدی تحت بارگذاریهای چند تکیه گاهی متفاوت را دارد. الگوریتم این برنامه در مرجع [۱۰] موجود است. با استفاده از این نرم افزار، علاوه بر کنترل دقت پاسخ تحلیلهای دینامیکی متداول، محاسبه دقیق مقادیر نرخ کرنش در هر نقطه سازه امکان پذیر می‌گردد. با توجه به تغییر رفتار فولاد در نرخهای کرنش بالا از حالت نرم به ترد، مطالعه توزیع مقادیر نرخ کرنش روی سازه‌ها برای آشنایی با الگوی احتمالی شکست ترد ناشی از بارگذاری سریع می‌تواند حائز اهمیت باشد.

در این مقاله پس از معرفی دو عضو میله و تیر با فرمول بندی سختی دینامیکی و آشنایی با تغییر رفتار فولاد در بارگذاریهای سریع، چند قاب نمونه مورد بررسی قرار گرفته اند. نمونه اول یک قاب سه طبقه و یک دهانه است که تحت تحریک یک پالس مثلثی شبه سینوسی جابه جایی قرار گرفته و نتایج به دست آمده از نرم افزار ANSYS 5.4 با مدل‌های ساخته شده توسط نرم افزار WPS با یکدیگر مقایسه گردیده اند. سپس به مطالعه توزیع نرخ کرنش در چند قاب نمونه مشتمل بر یک قاب هشت طبقه و سه قاب چهار طبقه تحت نگاشت زلزله نورث ریچ که نمونه‌هایی از شکست ترد در آن مشاهده شده است [۱۱ و ۱۲] پرداخته و الگوی احتمالی شکست ترد ناشی از سرعت بالای بارگذاری در این قابها نشان داده شده است.

۳- فرمول بندی سختی دینامیکی

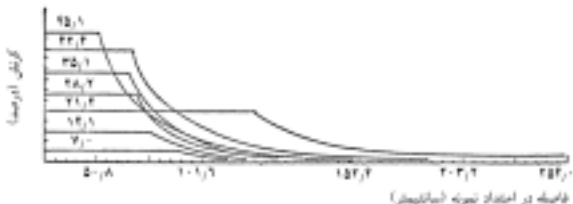
مرحله اول در به دست آوردن ماتریس سختی دینامیکی یک عضو سازه‌ای، فرمول بندی معادلات دیفرانسیل حاکم بر حرکت ارتعاش آزاد آن است. برای این

در این حالت، علی رغم افزایش استحکام کنشی، هنگامی که تنش تسلیم به سطح بالایی برسد، رفتار فولاد تغییر-کرده و تمایل به شکست ترد پیدا می‌کند.



تصویر(۱): امتداد یافتن توک خودگی بازستون به سمت جانقطع [۱۱ و ۱۲]

کارمن و داوز [۱۸] بارگذاری سریع فلزات را به طور تئوری مطالعه کرده و به صورت آزمایشگاهی روی نمونه‌های مسی مورد مطالعه قرار داده‌اند. نتایج آزمایشگاهی بر روی نمونه‌های تحت کشش با سرعتهای مختلف بارگذاری در شکل (۲) دیده-می‌شود. شکل مذکور نشان می‌دهد که با افزایش سرعت، محدوده تغییرشکلهای خمیری کاهش یافته و مقدار کرنش پلاستیک زیادتر شده است.



شکل (۲): نمودارهای توزیع کرنش در نمونه‌های مسی در معرض سرعتهای مختلف ضربه (متر بر ثانیه) [۱۸]

هر قدر سرعت ضربه بیشتر می‌شود تغییرشکلهای پلاستیک فرصت کمتری برای انتشار داشته و محدوده کوچکتری را در بر می‌گیرند. در نتیجه، انرژی جذب شده در سیستم کاهش یافته و فولاد رفتار ترد از خود نشان می‌دهد (همان اثری که با کاهش دما حادث می‌شود).

$$det = I - C.Ch, \quad C = \cos(kL), \quad S = \sin(kL), \quad Ch = \cos(kL) \quad (5)$$

$$Sh = \sin h(kL)$$

در رابطه (۴)، I گشتاور اینرسی مقطع، M_1 و M_2 لنگرهای گرهی، v_1 و v_2 تغییرمکانهای جانبی گرهی و ϕ_1 و ϕ_2 چرخشهای گرهی و V_1 و V_2 نیروهای برشی گرهی می‌باشد (شکل ۱، ب). سایر متغیرها همانند حالت میله تعريف-می‌شوند. با ترکیب این دو ماتریس، سختی دینامیکی یک عضو تیر با قابلیت انتشار موج محوری حاصل می‌شود.



الف



شکل (۱): نیروهای گرهی و درجات آزادی [۱۱]

از ویژگیهای کاربرد ماتریس سختی دینامیکی استفاده از توابع شکل دقیق، قابلیت محاسبه بی نهایت فرکانس و شکل مددی سازه با تعداد محدودی از مجھولات، محاسبه پاسخ دینامیکی دقیق سازه به خاطر استفاده از توزیع جرم گسترده و کاهش قابل توجه تعداد اعضاء در مدلسازی سازه است.

۴- تغییر رفتار فولاد در سرعتهای بالای بارگذاری
آزمایشها و مطالعات بسیاری نشان داده‌اند که رفتار فولاد تحت تأثیر عوامل مختلفی مانند دما، درجه خلوص، درشتی یاریزی دانه‌ها، سرعت بارگذاری و نوع توزیع تنشهای سه بعدی قرار داشته و می‌تواند از شکل پذیر به ترد تغییر بابد. از نمونه‌های بارز شکست ترد در ساختمنها در زلزله نورث ریچ آمریکا اتفاق افتاده است. تصویر(۱) شکست ترد را بدون تغییرشکلهای خمیری نشان می‌دهد [۱۱ و ۱۲].

مطالعات آزمایشگاهی متعددی نشان داده‌اند که با افزایش سرعت بارگذاری، منحنی تنش-کرنش، رشد می‌کند و مشخصه‌های استحکامی ماده بیشتر می‌شود [۱۵، ۱۶ و ۱۷].

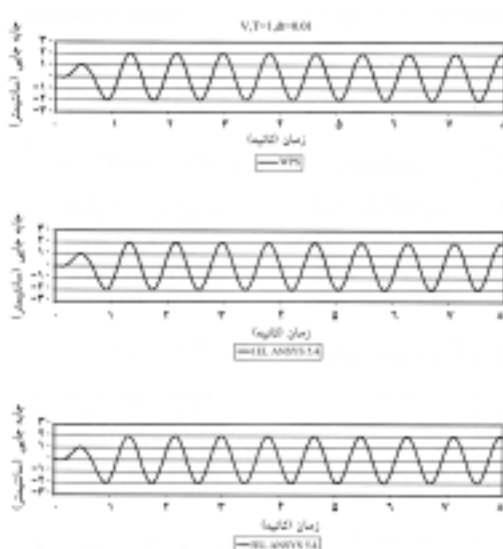
۵- نتایج تحلیلها

اولین تحلیل بر روی یک قاب سه طبقه و یک دهانه به کمک نرم افزار WPS تحت یک پالس مثلثی شبه سینوسی جا به جایی صورت گرفته و نتایج آن با مدل‌های ساخته شده توسط نرم افزار ANSYS 5.4 مقایسه شده اند. در این قسمت به کمک این تحلیلها علاوه بر تأیید صحت اجرای برنامه WPS تأثیر سرعت بارگذاری بر پاسخها بویژه پاسخ کرنش سازه نشان داده شده است.

دومین تحلیل به منظور مطالعه توزیع نرخ کرنش در اعضای قابهای نمونه هشت طبقه و سه قاب چهار طبقه تحت نگاشت زلزله نورث ریچ انجام گرفته است. در این تحلیلها اثر طول اعضاء و ریزتر شدن بازه زمانی نگاشت ورودی بر مقادیر نرخهای کرنش ایجاد شده بررسی شده است.

۱-۵- مقایسه نتایج نرم افزارهای WPS و ANSYS ۵.4 در قاب خمی سه طبقه یک دهانه

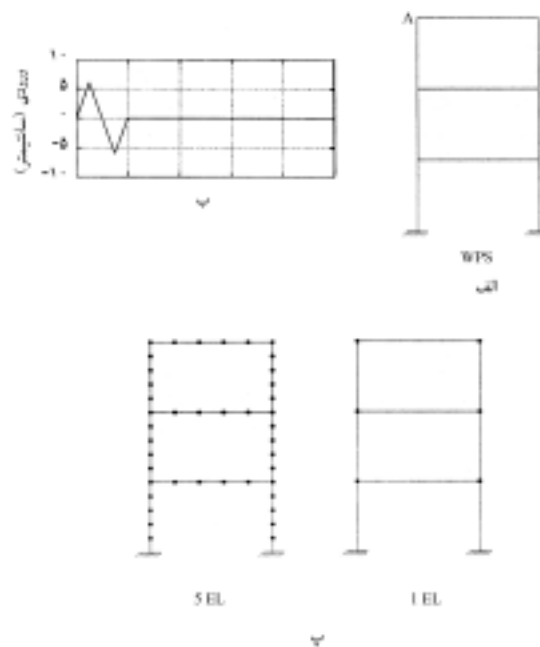
قابل سه طبقه و یک دهانه fr3-1 (شکل ۳، الف) تحت جا به جایی مثلثی شبه سینوسی (شکل ۳، ب) قرار گرفته است.



شکل (۴): مقایسه پاسخ جا به جایی برای پریود یک ثانیه پالس ورودی تحت

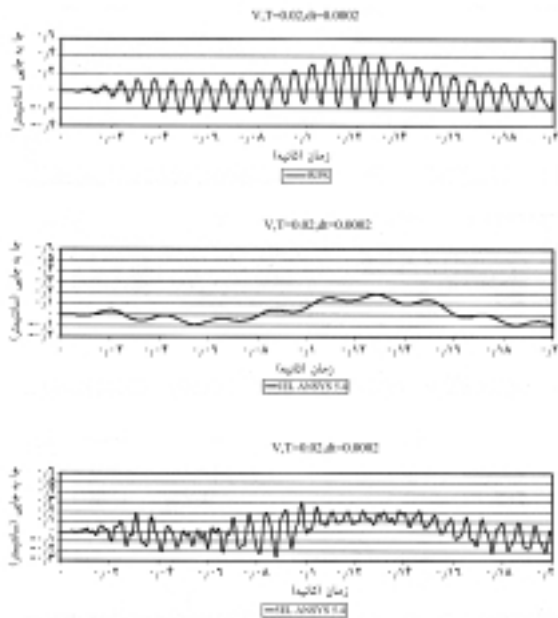
نرم افزارهای WPS و ANSYS

کاهش پریود به ۰/۰۲ ثانیه اختلاف مدل یک و پنج عضوی با مدل WPS خود را نشان می‌دهد. البته بروز پالس‌های جا به جایی با این پریود در زلزله‌ها دور از ذهن است و هدف از این مقایسه تنها نمایش صحت نرم افزار WPS و

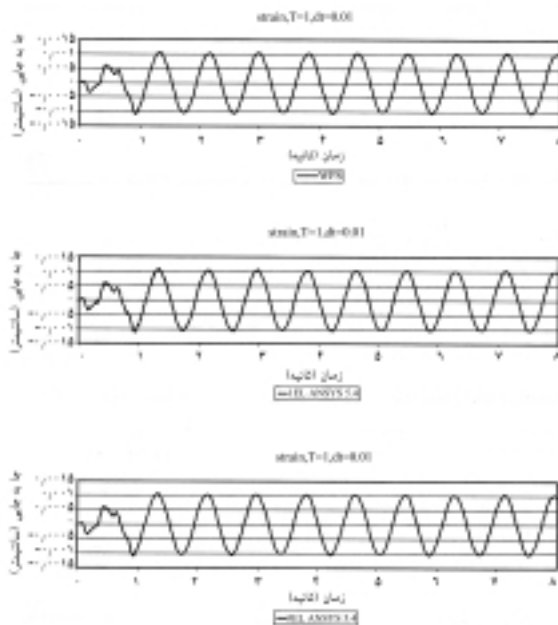


شکل (۳): قاب سه طبقه یک دهانه تحت تحریک پالس مثلثی

پریود جا به جایی ورودی با تغییر dt ، بازه زمانی جا به جایی تنظیم می‌شود. هر پالس به ۱۰۰ بازه زمانی تقسیم شده است. برای کنترل جوابها پاسخ جانبی نقطه A در طبقه



شکل (۶): مقایسه پاسخ جا به جایی برای پریود ۰/۰۲ ثانیه پالس ورودی تحت نرم افزارهای WPS و ANSYS 5.4

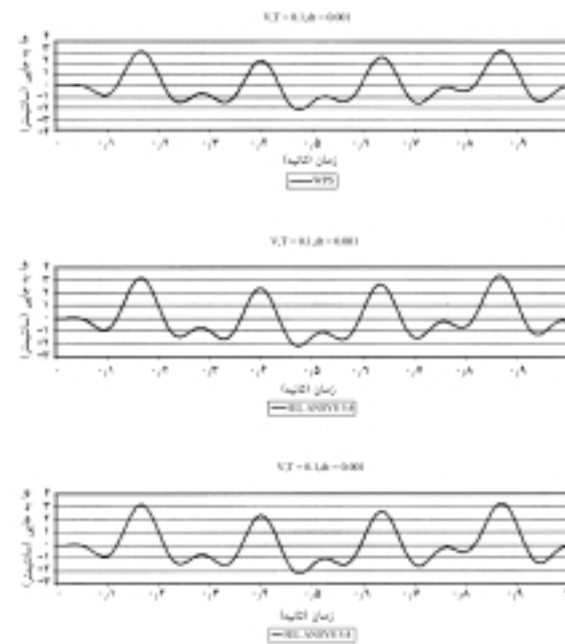


شکل (۷): مقایسه پاسخ کرنش بالای ستون طبقه سوم برای پریود یک ثانیه پالس ورودی تحت نرم افزارهای WPS و ANSYS 5.4

با توجه به اینکه حداکثر محتوای فرکانسی نگاشتهای جا به جایی زلزله ها به ۵ تا ۱۰ هرتز (پریود ۰/۰۲ تا ۰/۱ ثانیه) محدود می شود، به نظر می رسد که استفاده از مدل یک عضوی در تحلیل دینامیکی سازه ها ممکن است تقریب کافی در جوابهای جا به جایی سیستم را نتیجه دهد. این

نمایش عدم توانایی مدل یک عضوی و حتی پنج عضوی در انتقال پالس هایی با فرکانس های بالاتر است؛ اما مقایسه کرنش هایی به دست آمده از این تحریکات در (نقطه A) بالای ستون طبقه سوم (شکلهای ۷ تا ۹) نشان می دهد که علی رغم تطابق پاسخ جا به جایی این نقطه تا پریود ۰/۱ ثانیه (پریود ۱۰ هرتز) و بالاتر اختلاف فاحشی را نشان می دهد.

یک مؤلفه فرکانس بالای موج در پاسخ WPS وجود دارد که در مدل های یک و پنج عضوی دیده نمی شود. وجود چنین مؤلفه هایی، باعث می شود که بر روی پاسخ کرنش فرکانس پایین سازه (رفتار کلی کرنش با پریود بالا) یک موج فرکانس بالا قرار گیرد و باعث شود که نرخ کرنش ایجاد شده نسبت به پاسخ مدل های یک و پنج عضوی رشد زیادی از خود نشان دهد؛ به طوری که با تحلیلهای متداول نمی توان چنین مؤلفه هایی را نمایش داد. این اختلاف، لزوم استفاده از تحلیلهای دقیقتر را توجیه می کند؛ زیرا، احتمال این خطر وجود دارد که در نرخهای کرنش بالای به وجود آمده، رفتار فولاد از نرم به ترد تغییر کند.



شکل (۸): مقایسه پاسخ جا به جایی برای پریود ۰/۰ ثانیه پالس ورودی تحت نرم افزارهای WPS و ANSYS 5.4

۲-۵- مطالعه توزیع نرخ کرنش در یک قاب خمی هشت طبقه سه دهانه

استفاده از نرم افزار WPS به عنوان ابزاری دقیق در تحلیل دینامیکی سازه ها بویژه در سرعتهای بالای بارگذاری بسیار کارآمد است. به این ترتیب می توان الگوی توزیع مقادیر نرخ کرنش قابها را با دقت در بارگذاریهای سریع مطالعه نمود و نقاطی که احتمال بروز شکست ترد در آنها وجود دارد شناسایی کرد. بر اساس تحلیلهایی که با استفاده از نرم افزار WPS بر روی سازه های متداول انجام گرفت مشخص شد که نرخهای کرنش حداکثر در ابتدا و انتهای اعضا (تیر یا ستون) مقادیر حداکثر را دارا می باشند؛ بنابراین نرخهای کرنش در محل اتصال اعضا به یکدیگر مورد بررسی قرار گرفت. نتایج تحلیل نرم افزار WPS برای یک قاب خمی هشت طبقه سه دهانه تحت تحریک جا به جایی زلزله نورث ریچ در شکل (۱۰) دیده می شود.

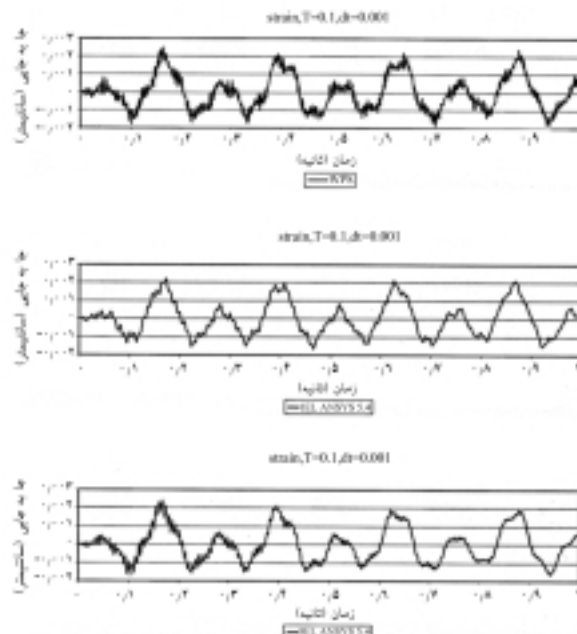
پاسخ نرخهای کرنش نسبت به خط وسط قاب متقارن می باشند. به این دلیل نتایج تنها برای یک نیمه در انتهای تیرها و ستونها مشخص شده اند. اهم نتایج حاصل از این مطالعه عبارتند از:

- نرخ کرنش در تیرهای طبقه اول و ماقبل آخر مقادیر حداکثر را دارد. علت افزایش نرخ کرنش در طبقه بالا را می توان انعکاس موج عبوری از انتهای آزاد قاب توجیه کرد که سازه قاب مانند یک تیر یکسر گیردار قائم عمل می کند.
- نرخ کرنش در ستونهای طبقه اول، بالا و در طبقه ماقبل آخر حداکثر است.
- در ارتفاع سازه نرخ کرنش در نقاطی که تغییر مقطع وجود دارد به طور ناگهانی افزایش می یابد (در این نمونه چهار طبقه اول یک نوع مقطع و پس از آن هر دو طبقه یک نوع مقطع تیر و ستون است).

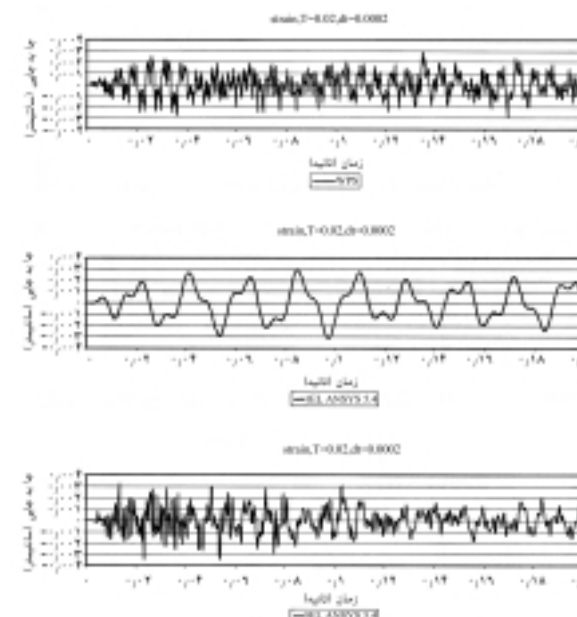
۶- مطالعه نرخ کرنش در قابهای چهار طبقه

با توجه به نتایج به دست آمده این سؤال مطرح می شود که مقادیر نرخ کرنش به چه عواملی وابسته می باشند. آیا بزرگ بودن یا کوچک بودن اعضا و فرکانس های طبیعی مدهای بالای سازه و یا سیستم سازه ای قاب و یا

فرضیه در مورد پاسخهای جا به جایی صادق است؛ اما همان گونه که مشاهده شد در مورد کرنشهای سازه که از مشتقات جا به جایی حاصل می شوند و به تغییرات ناجیز جا به جایی حساس هستند صحت نخواهد داشت؛ بویژه اینکه با ریزتر شدن بازه زمانی ورودی این اختلاف تشدید می شود.

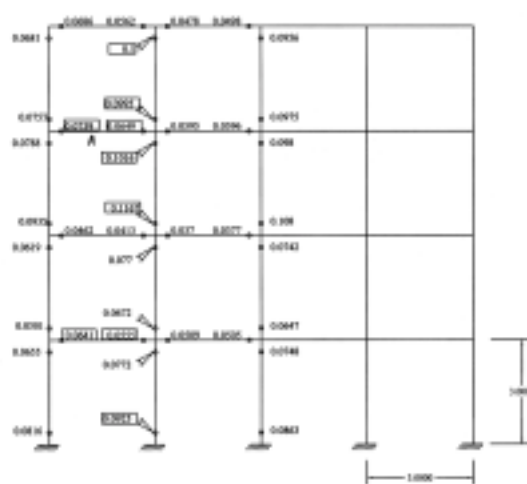


شکل (۴): مقایسه پاسخ کرنش بالای ستون طبقه سوم برای پریود ۰/۱ ثانیه پالس ورودی تحت نرم افزارهای WPS و ANSYS 5.4

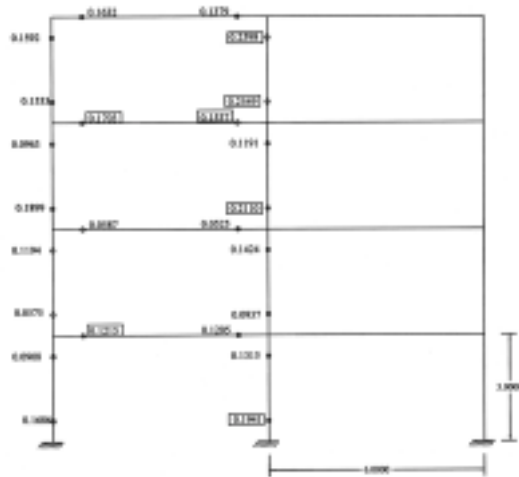


شکل (۴): مقایسه پاسخ کرنش بالای ستون طبقه سوم برای پریود ۰/۰۲ ثانیه پالس ورودی تحت نرم افزارهای WPS و ANSYS 5.4

حداکثر است و در محل تغییر مقطع (بالای کف طبقه دوم)



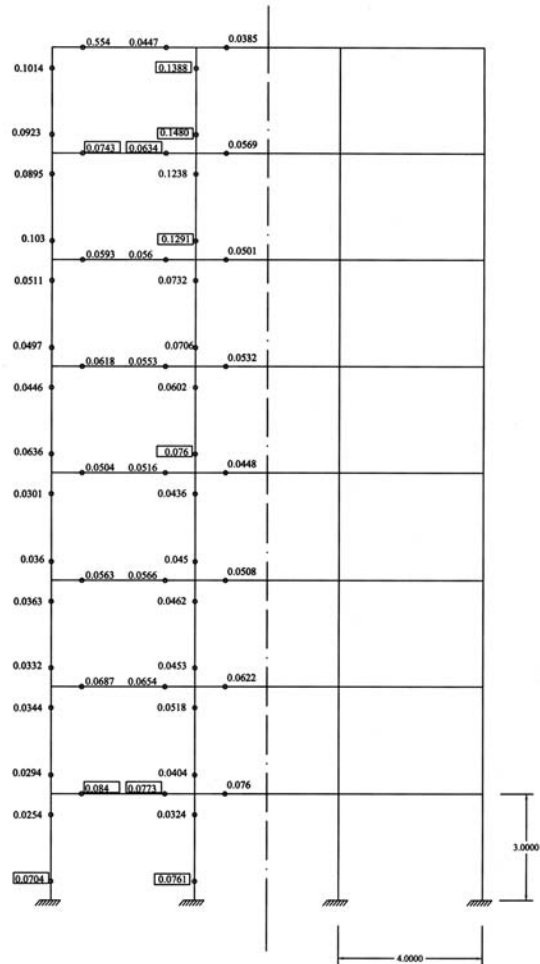
شکل (۱۱): مقادیر نرخ کرنش قاب خمی چهاردهانه (fr4-4)



شکل (۱۲): مقادیر نرخ کرنش قاب خمی دو دهانه (fr4-2)

یک جهش در مقادیر نرخ کرنش دیده می شود. چنین الگویی از توزیع نرخهای کرنش حداکثر و در نتیجه شکست ترد برای یک قاب چهار طبقه سه دهانه در مرجع [۱۱] نیز مشاهده شده است. شکل (۱۴) الگوی توزیع شکست بال تیر را در محل اتصال به ستون برای این قاب نشان-می دهد. علامت توپر سیاه، نمایش ترک خوردنگی در محل بال تیر به ستون است.

مشاهده می شود که توزیع این شکستها در طبقه سوم و اول بیشتر از سایر نقاط است؛ مشابه نتایجی که در تحلیل قاب fr4-4 و fr4-2 دیده می شود.



شکل (۱۰): مقادیر نرخ کرنش برای قاب خمی هشت طبقه سه دهانه

حتی بازه زمانی نگاشت ورودی می توانند بر این پارامتر مؤثر باشند. برای مطالعه این آثار نتایج تحلیل سه قاب چهار طبقه فولادی را که به صورت یک قاب خمی چهاردهانه (شکل ۱۱)، یک قاب خمی دو دهانه (شکل ۱۲) و یک قاب بادبندی چهاردهانه (شکل ۱۳) با استفاده از WPS مدل-شده اند تحت نگاشت جا به جایی زلزله نورث ریج با باره زمانی ۰/۰ ثانیه بررسی شده اند.

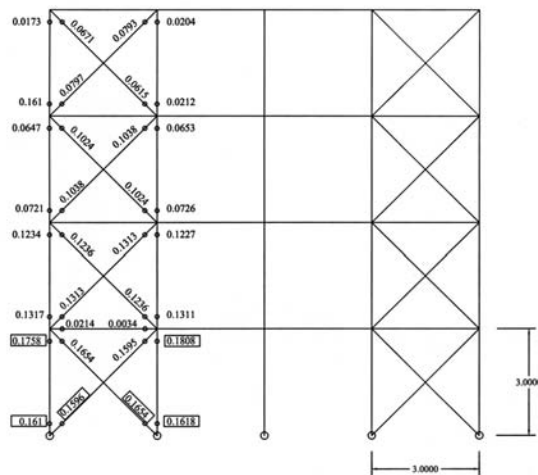
قابهای خمی از دو نوع مقطع ستون و دو نوع مقطع تیر (هر دو طبقه یک نوع تیر و ستون) تشکیل شده و مقاطع قاب بادبندی در طبقات تغییر نکرده است. در قابهای خمی مکرراً نتایج قاب هشت طبقه بخش قبل دیده می شوند. مقادیر نرخ کرنش در پایین سازه، بالا و در طبقات بالا بویژه تیرهای طبقه سوم و ستونهای طبقات آخر

ستونهای طبقه اول که تنها نرخ کرنش محوری هستند). نکته جالب توجه در این شکل مقادیر بالای نرخ کرنش محوری در بادبندهای طبقه پایین نسبت به مقادیر نرخ کرنش در ستونهای سمت (تقریباً معادل). به عبارت دیگر، در هنگام زلزله نیروهای محوری با سرعت بالایی به بادبندها وارد می‌شوند و می‌توانند نقاط حساسی را از نظر شکست ترد و یا گسستگی در محل اتصال بادبند ایجاد کنند. پدیده‌ای که در زلزله نورث ریچ نیز مشاهده شده است (تصویر ۲).

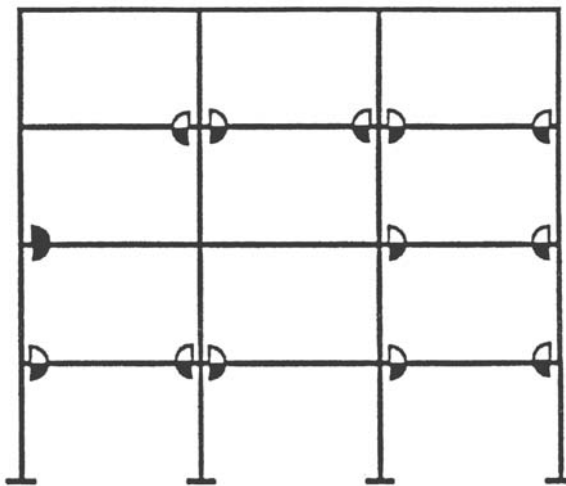
جدول (۱): مقادیر فرکانس‌های دو قاب fr4-4 و fr4-2

فرکانس (Hz)	شماره مد
fr4-4	fr4-2
۱/۴۵	۱/۸۵
۳/۹۰	۴/۷۸
۶/۰۲	۷/۰۷
۷/۶۹	۷/۱۳
۱۳/۲۵	۷/۶۲
۱۵/۱۹	۷/۸۸
۱۹/۶۹	۷/۹۳
۲۰/۲۷	۹/۰۹
۲۰/۶۰	۹/۳۱
۲۰/۸۳	۹/۴۱

کلیه تحلیلهای مذکور بر اساس نگاشتی صورت گرفت که بازه زمانی آن برابر با 0.02 ثانیه بود؛ حال این سؤال پیش می‌آید که اگر مؤلفه هایی از هارمونیک‌های تشکیل دهنده نگاشت ورودی توسط مدهای بالای سازه تقویت یا تشدید-شوند، آیا قابلیت نمایش چنین مؤلفه‌هایی در پاسخ خروجی امکان پذیر است؟ در صورتی که هر پالس کامل از چهار گام زمانی تشکیل شده باشد حداکثر فرکانسی که ممکن است تقویت شود $12/5$ هرتز خواهد بود. به این ترتیب آیا با کوچک کردن بازه زمانی ورودی، تغییری در پاسخها به وجود خواهد آمد؟ در جدول (۲) مقادیر نرخ کرنش برای دو تحلیل با بازه‌های زمانی 0.02 و 0.002 برای عضو A در قاب fr4-4 نشان داده شده است (شکل ۱۱). مشاهده می‌شود مقادیر نرخها تا 20% افزایش یافته‌اند.



شکل (۱۳): مقادیر نرخ کرنش قاب بادبندی چهاردههانه (fr4-B)



شکل (۱۴): الگوی توزیع شکست بآل تیرهای قاب چهار طبقه [۱]

نکته جالب توجه در مورد دو قاب fr4-4 و fr4-2 رشد مقادیر نرخهای کرنش در قاب fr4-2 نسبت به fr4-4 است. دلیل این امر را می‌توان افزایش طول اعضای سازه دانست که باعث می‌شوند فرکانس‌های مدهای بالاتر سازه کاهش-یافته و بیشتر در محدوده فرکانسی زلزله ورودی قرار گیرند. به این ترتیب، امکان تحریک این مدهای بالاتر نسبت به قاب fr4-4 افزایش می‌یابد. مقادیر فرکانس‌های دو قاب fr4-2 و fr4-4 در جدول (۱) دیده می‌شوند.

مقادیری که در شکل (۱۴) برای قاب fr4-B نشان داده شده اند در بادبندها نرخ کرنش محوری و در ستونها نرخ کرنش محوری به علاوه نرخ کرنش خمی می‌باشند (جز

به کمک این ابزار دقیق نحوه توزیع نرخهای کرنش در اعضای چند قاب نمونه مطالعه شد و نقاطی را که پتانسیل خطر آسیب دیدگی به شکل ترد در سازه وجود داشت شناسایی و نشان داده شد که طول اعضای سازه و بازه زمانی نگاشت ورودی می‌توانند باعث تغییر مقادیر نرخ کرنش در سازه شوند. با توجه به نتایج به دست آمده نکات زیر حائز اهمیت می‌باشند:

- با توجه به تقریب‌هایی که در تحلیلهای متداول دینامیکی به دلیل استفاده از تعداد محدودی عضو به وجود می‌آیند، باید تعداد اعضایی که در مدلسازی هر عضو از سازه در این نوع تحلیلهای استفاده می‌شود با توجه به فرکانس تحریک ورودی و مشخصات فیزیکی سازه مفروض تعیین شوند.

- استفاده از فرمول بندی ماتریس سختی دینامیکی محدودیت استفاده از اعضای بیشتر در مدلسازی اعضای سازه را از بین برده و تنها با استفاده از یک عضو بین هر دو گره یا ناپیوستگی در مدلسازی، پاسخ دینامیکی با دقت محاسبه می‌شود.

- با توجه به نتایج به دست آمده به نظر می‌رسد که علاوه بر معیارهای کنترل کننده تنش، کرنش و جا به جایی در طراحی سازه‌ها، نرخ کرنش نیز می‌تواند به عنوان یک عامل کنترل کننده از اهمیت زیادی برخوردار باشد. به این ترتیب، به منظور برآورد دقیق تر آسیب دیدگی سازه‌های فولادی مطالعه نرخهای تشخیص مقاطعی که بیشترین خطر قرارگیری در محدوده رفتار ترد فولاد را دارند ضروری است.

- اگر فرکانس مدهای بالاتر سیستم کوچک باشند احتمال اینکه در محدوده فرکانسی تحریک نگاشت ورودی قرار بگیرند، بیشتر شده و در نتیجه نرخهای کرنش ایجاد شده افزایش می‌یابند.

- چنانچه در نتایج دیده شد کوچک کردن بازه زمانی به بروز نرخهای کرنش بیشتری در سازه منجر- می‌شود؛ بنابراین، برای به دست آوردن دقت مناسب باید تا حد امکان از نگاشتهایی که با بازه زمانی ریزتری ثبت شده اند استفاده نمود.

تصویر (۲): گسیختگی اتصال جوشی بادیند [۱۰]

جدول (۲): مقادیر فرکانس‌های دو قاب ۲ و fr4-4

بازه زمانی	نرخ کرنش خمی	نرخ کرنش مجموع	حداکثر مجموع نرخها
۰/۰۲	۰/۱۱۶۳	۰/۰۰۶۴۱	۰/۱۱۶۷
۰/۰۰۲	۰/۱۳۳۸	۰/۰۱۵۹۷	۰/۱۳۹۵

اگرچه با ریزتر کردن بازه زمانی زلزله محتوای فرکانسی آن هیچ تغییری نمی‌کند، اما در تحلیل با $dt = 0.002$ مقادیر نرخها برای تمام اعضای افزایش می‌یابند که دو توجیه برای آن استنباط می‌شود:

- امکان ظهور مؤلفه‌های فرکانس بالا در پاسخ سیستم با ریز کردن بازه زمانی؛
- تقریب دقیق تر از منحنی کرنش‌ها.

۷- نتیجه گیری

در این تحقیق با استفاده از روش ماتریس سختی دینامیکی مدلی دقیق برای تحلیل دینامیکی سازه‌های دو بعدی ارائه شد. این مدل علاوه بر کنترل نتایج نرم افزارهای متداول، ضعف این مدلها را در تعیین پاسخ سازه برای بارگذاریهای سریع نشان داد؛ به طوری که در این نرم افزارها لازم است برای تعیین پاسخ دینامیکی دقیق سازه‌ها نسبت ویژه‌ای بین طول عضو استفاده شده در مدلسازی و بازه زمانی ورودی برقرار باشد. علاوه بر آن،

-۸- مراجع

سازه های دو بعدی با استفاده از ماتریس سختی دینامیکی", پایان نامه کارشناسی ارشد، پژوهشگاه بین المللی زلزله شناسی و مهندسی زلزله، ۱۳۷۹.

- 11."Northridge Earthquake Reconnaissance Report", Earthquake Spectra, Vol. 2, pp.25-47, 1996.
- 12.Bertro, V. V., Anderson, J. C. and Krawinkler, H., "Performance of Steel Building Structures During the Northridge Earthquake", UCB/EERC, 94-09.
- 13.Banerjee, J. R., "Dynamic Stiffness Formulation for Structural Elements: A General Approach", Computer & Structures, pp. 101-103, 1997.
- 14.Azimi, S., "Dynamic Analysis of Structures Using Finite Dynamic Element Formulation Methodology", Report of IIEES, 1996.
- ۱۵- آیشتات، مالوین. "آشنایی با خواص مکانیکی مواد" ترجمه علی حائریان اردکانی، تهران: مرکز نشر دانشگاهی، ۱۳۷۲.
- 16.Element of Material Science & Engineering, Vanvlack, Addison-Wesley, 1980.
- 17.Francois, D., Pineau, A., and Zaoui, A., "Mechanical Behaviour of Materials", KAP, 1998.
- 18.Vonkarman, T., Duwez, P., "The Propagation of Plastic Deformation in Solids", J., Appl. Phys, pp. 987-994, 1950. ◀

- 1.Kolousek, V., Butter Worths, "Dynamic in Engineering", 1973.
- 2.Williams, F.W., Wittrick, W.H., "An Automatic Computational Procedure for Calculation of Natural Frequencies of Skeletal Structures", Int. J. Mech. Sci., pp. 781-791, 1970.
- 3.Richards, T.H., Leung, Y.T., "An Accurate Method in Structural Vibration Analysis", J. Sound and Vibration, pp. 363-376, 1977.
- 4.Doyle, J.F. "Wave Propagation in Structures", Springer-Verlag, 1989.
- 5.Martin, M., Gopalakrishnan, S., Doyle, J.F., "Wave Propagation in Multiply Connected Deep Waveguides", J. Sound and Vibration, pp. 521-538, 1994.
- 6.Gopalakrishnan, S. and Doyle, J. F., "Wave Propagation in Connected Waveguide", J. Sound and Vibration, pp. 347-363, 1994.
- 7.Banerjee, J. R., Guo, S. and Howson, W.P., "Exact Dynamic Stiffness Matrix of a Bending-Torsion Coupled Beam Including Warping", Computers & Structures, pp. 613-621, 1996.
- 8.Banerjee, J. R., Williams, F.W., "Coupled Bending-Torsional Dynamic Stiffness Matrix for Timoshenko Beam Elements", Computers & Structures, pp. 301-310, 1992.
9. Clough, R.W., Penzien, J., "Dynamic of Structures", Mc Graw-Hill, 1975.

۱۰- جبارزاده، محمدجواد. "بررسی پدیده انتشار موج در